

(Ova stranica je ostavljena prazna)

ELEMENTI TEORIJE POLJA*

Vektorsko polje, divergencija i rotor

4401. Naći vektorske linije homogenog polja $A(P) = ai + bj + ck$ (a, b i c su konstante).

4402. Naći vektorske linije ravnog polja $A(P) = -\omega yi + \omega xj$, (ω je konstanta).

4403. Naći vektorske linije polja $A(P) = -\omega yi + \omega xj + hk$ (ω i h su konstante).

4404. Naći vektorske linije polja:

1) $A(P) = (y + z)i - xj - xk$;

2) $A(P) = (z - y)i + (x - z)j + (y - x)k$;

3) $A(P) = x(y^2 - z^2)i - y(z^2 + x^2)j + z(x^2 + y^2)k$.

U zadacima 4405 — 4408 izračunati divergenciju i rotor datih vektorskih polja.

4405. $A(P) = xi + yj + zk$.

4406. $A(P) = (y^2 + z^2)i + (z^2 + x^2)j + (x^2 + y^2)k$.

4407. $A(P) = x^2 yzi + xy^2 zj + xyz^2 k$.

4408. $A(P) = \text{grad}(x^2 + y^2 + z^2)$.

4409. Sila Fi konstantnog intenziteta F obrazuje vektorsko polje; izračunati divergenciju i rotor toga polja.

4410. Ravno vektorsko polje definisano je silom obrnuto proporcionalnom kvadratu odstojanja njene napadne tačke od koordinatnog početka i usmerenom prema koordinatnom početku (npr. ravno električno polje obrazovano naelektrisanom materijalnom tačkom); naći divergenciju i rotor polja.

4411. Naći divergenciju i rotor prostranog polja ako je sila polja podčinjena istim uslovima kao i u zadatku 4410.

4412. Vektorsko polje je definisano silom obrnuto proporcionalnom odstupanju njene napadne tačke od z -ose, normalnom na tu osu i usmerenom prema njoj; izračunati divergenciju i rotor toga polja.

4413. Vektorsko polje je definisano silom obrnuto proporcionalnom odstojanju njene napadne tačke od ravni xOy i usmerenom prema koordinatnom početku; izračunati divergenciju tog polja.

4414. Izračunati $\text{div} (a\mathbf{r})$ ako je a konstantan skalar.

4415. Dokazati relaciju

$$\text{div} (\varphi \mathbf{A}) = \varphi \text{div} \mathbf{A} + (\mathbf{A} \text{ grad} \varphi),$$

u kojoj je $\varphi = \varphi(x, y, z)$ skalarna funkcija.

4416. Izračunati $\text{div} \mathbf{b}(\mathbf{r} \cdot \mathbf{a})$ i $\text{div} \mathbf{r}(\mathbf{r} \cdot \mathbf{a})$ ako su \mathbf{a} i \mathbf{b} konstantni vektori.

4417. Izračunati $\text{div} (\mathbf{a} \times \mathbf{r})$ ako je \mathbf{r} konstantan vektor.

4418. Ne prelazeći na koordinate izračunati divergenciju vektorskog polja:

$$1) \mathbf{A}(P) = \mathbf{r}(ar) - 2a\mathbf{r}^2, \quad 2) \mathbf{A}(P) = \frac{\mathbf{r} - \mathbf{r}_0}{|\mathbf{r} - \mathbf{r}_0|^3},$$

$$3) \text{ grad} \frac{1}{|\mathbf{r} - \mathbf{r}_0|}$$

4419. Izračunati divergenciju vektorskog polja

$$\mathbf{A}(P) = f(|\mathbf{r}|) \frac{\mathbf{r}}{|\mathbf{r}|}.$$

Dokazati da je divergencija ovog polja jednaka nuli samo onda kad je $f(|\mathbf{r}|) = \frac{C}{r^2}$ ako

je polje prostorno, i $f(|\mathbf{r}|) = \frac{C}{|\mathbf{r}|}$ ako je polje ravno, pri čemu je C proizvoljna skalarna konstanta.

4420. Dokazati da je

$$\text{rot} [\mathbf{A}_1(P) + \mathbf{A}_2(P)] = \text{rot} \mathbf{A}_1(P) + \text{rot} \mathbf{A}_2(P).$$

4421. Izračunati $\text{rot} [\varphi \mathbf{A}(P)]$, ako je $\varphi = \varphi(x, y, z)$ skalarna funkcija.

4422. Izračunati $\text{rot} r\mathbf{a}$ ako je r intenzitet vektora položaja tačke, a \mathbf{a} je konstantan vektor.

4423. Izračunati $\text{rot} (\mathbf{a} \times \mathbf{r})$ ako je \mathbf{a} konstantan vektor.

4424. Kruto telo obrće se konstantnom ugaonom brzinom ω oko ose: naći divergenciju i rotor polja linearnih brzina.

4425. Dokazati relaciju

$$\mathbf{n}(\text{grad} (\mathbf{A} \cdot \mathbf{n}) - \text{rot} (\mathbf{A} \times \mathbf{n})) = \text{div} \mathbf{A},$$

ako je \mathbf{n} jedinični konstantan vektor.

Diferencijalne operacije vektorske analize (grad, div, rot) zgodno je obeležavati pomoću simboličnog vektora ∇ (Hamiltonov „nabla“ operator):

$$\nabla = \frac{\partial}{\partial x} \mathbf{i} + \frac{\partial}{\partial y} \mathbf{j} + \frac{\partial}{\partial z} \mathbf{k}.$$

Primenu ovog operatora na ovu ili onu (skalarnu ili vektorsku veličinu) treba shvatiti ovako: po pravilima vektorske algebre treba pomnožiti vektor ∇ datom veličinom, a zatim množenje simbola $\frac{\partial}{\partial x}$ i tsl. veličinom S shvatiti kao izračunavanje odgovarajućeg izvoda. Tada je $\text{grad } u = \nabla u$; $\text{div } A = \nabla A$; $\text{rot } A = \nabla \times A$.

Pomoću Hamiltonova operatora mogu se predstaviti i diferencijalne operacije drugog reda: $\text{div grad } u = \nabla \nabla u$; $\text{rot grad } u = \nabla \times \nabla u$; $\text{grad div } A = \nabla (\nabla A)$; $\text{div rot } A = \nabla (\nabla \times A)$; $\text{rot rot } A = \nabla \times (\nabla \times A)$.

4426. Dokazati da je $r \cdot \nabla r^n = n r^n$, pri čemu je r vektor položaja tačke.

4427. Dokazati relacije:

1) $\text{rot grad } u = 0$; 2) $\text{div rot } A = 0$.

4428. Dokazati da je

$$\text{div grad } u = \frac{\partial^2 u}{\partial x^2} + \frac{\partial^2 u}{\partial y^2} + \frac{\partial^2 u}{\partial z^2}.$$

(Ovaj se izraz naziva Laplasovim operatorom i obično se obeležava sa Δu . Pomoću Hamiltonova operatora ova se veličina može pisati u obliku $\Delta u = (\nabla \nabla) u = \nabla^2 u$).

4429. Dokazati da je

$$\text{rot rot } A(P) = \text{grad div } A(P) - \Delta A(P),$$

pri čemu je

$$\Delta A(P) = \Delta A_x i + \Delta A_y j + \Delta A_z k.$$

Potencijal

4430. Vektorsko polje definisano je konstantnim vektorom A ; uveriti se da to polje ima potencijal i naći taj potencijal.

4431. Vektorsko polje definisano je silom proporcionalnom odstojanju napadne tačke od koordinatnog početka i usmerenom prema koordinatnom početku; pokazati da je to polje konzervativno i naći njegov potencijal.

4432. Sile polja su obrnuto proporcionalne odstojanju njihovih napadnih tačaka od ravni Oxy i usmerene su prema koordinatnom početku; hoće li polje biti konzervativno?

4433. Sile polja su obrnuto proporcionalne kvadratu odstojanja njihovih napadnih tačaka od z -ose i usmerene prema koordinatnom početku; hoće li polje biti konzervativno?

4434. Vektorsko polje definisano je silom obrnuto proporcionalnom odstojanju njene napadne tačke od z -ose, normalnom na tu osu i usmerenom ka njoj; pokazati da je to polje konzervativno i naći njegov potencijal.

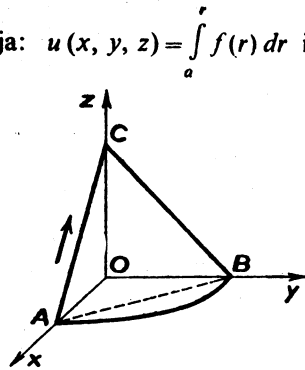
4435. Linearne brzine tačaka krutog tela koje se obrće oko neke ose obrazuju vektorsko polje; je li to polje potencijalno?

4436. Sile polja definisane su ovako: $A(P) = f(r) \frac{r}{r}$ (tzv. centralno

polje; $r = \sqrt{x^2 + y^2 + z^2}$); pokazati da je potencijal polja: $u(x, y, z) = \int_a^r f(r) dr$ i

odavde kao specijalan slučaj izvesti potencijal polja sila privlačenja koje potiču od tačkaste mase, i potencijal polja u zadatku 4431.

4437. Naći rad sila polja $A(p) = xyi + yzj + xzk$ pri pomeranju tačke po zatvorenoj krivoj koja se sastoji iz odsečka prave $x + z = 1$, $y = 0$, četvrtine kružne linije $x^2 + y^2 = 1$, $z = 0$, i odsečka prave $y + z = 1$, $x = 0$ (sl. 78), — u smeru naznačenom na slici. Koliki će biti taj rad ako se luk BA zameni izlomljenom linijom BOA ili pravolinijskim odsečkom BA ?



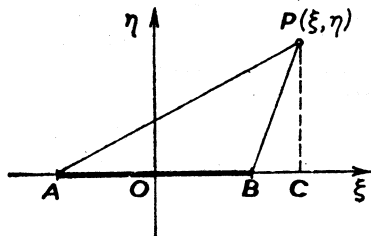
Sl. 78

Potencijal sile privlačenja*)

4438. U ravni $O\xi\eta$ dat je homogen štap AB dužine $2l$ i linearne gustine δ , koji leži na ξ -osi simetrično u odnosu na koordinatni početak (sl. 79).

a) Naći potencijal $u(x, y)$ štapa.

b) Pokazati da projekcije X i Y sile privlačenja koja deluje na tačku P mase m , čije su koordinate $\xi = x$, $\eta = y$, imaju vrednosti:



Sl. 79

$$X = mk \delta \left(\frac{1}{PA} - \frac{1}{PB} \right),$$

$$Y = -\frac{mk \delta}{y} \left(\frac{CB}{PB} + \frac{AC}{PA} \right),$$

a jačina R rezultujuće sile je $R = \frac{2mk\delta}{y} \sin \frac{\alpha + \beta}{2}$, pri čemu je k gravitaciona konstanta (C je projekcija tačke P na osu $O\xi$, α je ugao APC , a β — ugao BPC).

4439. Naći potencijal kružne linije $x^2 + y^2 = R^2$, $z = 0$, u tački $(R, 0, 2R)$ ako je gustina u svakoj tački jednaka apsolutnoj vrednosti sinusa ugla između vektora položaja tačke i apscisne ose.

4440. Naći potencijal prvog zavoja homogene (gustina je δ) zavojnice $x = a \cos t$, $y = a \sin t$, $z = bt$ u koordinatnom početku.

4441. Naći potencijal homogenog kvadrata stranice a (površinska gustina je δ) u jednom od njegovih temena.

4442. U ravni Oxy raspodeljena je masa tako da joj gustina δ zavisi od odstojanja ρ tačke od koordinatnog početka po sledećem zakonu:

$$\delta = \frac{1}{1 + \rho^2};$$

4443*. Izračunati potencijal homogene bočne površine pravog kružnog cilindra:

1) u centru njegove osnove;

2) u sredini njegove ose (poluprečnik cilindra je R , visina je H , a površinska gustina δ).

4444. Izračunati potencijal homogene bočne površine pravog kružnog konusa (poluprečnika osnove R i visine H) u njegovom vrhu.

4445. Dat je prav kružni homogeni cilindar (poluprečnik osnove je R , visina H , gustina δ).

1) Naći potencijal u centru osnove cilindra.

2) Naći potencijal u sredini njegove ose.

4446. Dat je prav kružni homogeni konus (poluprečnik osnove je R visina H , gustina δ); naći potencijal konusa u njegovom vrhu.

4447. Naći potencijal homogene polulopte $x^2 + y^2 + z^2 \leq R^2$ ($z \geq 0$) u tački $A(0, 0, a)$; ako joj je gustina δ . (Razmotriti dva slučaja: $a \geq R$ i $a \leq R$.)

4448*. Naći potencijal homogene šuplje lopte gustine δ ograničene dvema koncentričnim sferama čiji su poluprečnici R i r ($R > r$), — u tački koja leži na udaljenosti a od centra lopte. (Razmotriti tri slučaja: $a \geq R$, $a \leq r$ i $r \leq a \leq R$). Pokazati da ako se tačka nalazi u unutrašnjoj šupljini lopte onda je privlačna sila koja deluje na tu tačku jednaka nuli. (Uporedi i zadatak 3698)

4449. Naći potencijal nehomogene masivne kugle $x^2 + y^2 + z^2 \leq R^2$ u tački $A(0, 0, a)$ ($a > R$), ako je gustina $\delta = \lambda \cdot z^2$, tj. proporcionalna je kvadratu odstojanja tačke od ravni Oxy .

Protok (fluks) i cirkulacija (u ravni)

4450. Izračunati protok i cirkulaciju konstantnog vektora A duž proizvoljne zatvorene krive L .

4451. Izračunati protok i cirkulaciju vektora $A(P) = ar$, pri čemu je a — konstantan skalar, a r — vektor položaja tačke P , — duž proizvoljne zatvorene krive L .

4452. Izračunati protok i cirkulaciju vektora $A(P) = xi - yj$ duž proizvoljne zatvorene krive L .

4453. Izračunati protok i cirkulaciju vektora $A(P) = (x^3 - y)i + (y^3 + x)j$ duž kružnice poluprečnika R sa centrom u koordinatnom početku.

4454. Potencijal polja brzina čestica tečnosti je $u = \ln r$ ($r = \sqrt{x^2 + y^2}$); odrediti količinu tečnosti koja ističe u jedinici vremena kroz zatvorenu konturu opisanu oko koordinatnog početka (protok), i količinu tečnosti koja protiče u jedinici vremena duž te konture (cirkulacija). Koliki će biti rezultat ako centar leži van konture?

4455. Potencijal polja brzina čestica tečnosti je $u = \varphi$, pri čemu je $\varphi = \arctg \frac{y}{x}$; odrediti protok i cirkulaciju vektora brzina duž zatvorene konture L .

4456. Potencijal polja brzina čestica tečnosti je $u(x, y) = x(x^2 - 3y^2)$; izračunati količinu tečnosti koja protokne u jedinici vremena kroz pravolinijski odsečak koji spaja koordinatni početak sa tačkom $(1, 1)$.

Protok i cirkulacija (u prostoru)

4457. Dokazati da je početak vektora položaja r kroz svaku zatvorenu površinu jednak trostrukoj zapremini tela ograničenog tom površinom.

4458. Izračunati protok vektora položaja kroz bočnu površinu kružnog cilindra (poluprečnik osnove je R , visina H), ako osa cilindra prolazi kroz koordinatni početak.

4459. Koristeći rezultate zadataka 4457 i 4458 utvrditi koliki je protok vektora položaja kroz obe osnove cilindra prethodnog zadatka.

4460. Izračunati protok vektora položaja kroz bočnu površinu kružnog konusa čija osnova leži u ravni xOy , a osa mu se poklapa sa z -osom. (Visina konusa je $= 1$, a poluprečnik osnove je $= 2$).

4461. Naći protok vektora $A(P) = xyi + yzj + xzk$ kroz onaj deo površine sfere $x^2 + y^2 + z^2 = 1$ koji leži u prvom oktantu.

4462*. Naći protok vektora $A(P) = yzi + xzj + xyk$ kroz bočnu površinu piramide sa vrhom u tački $S(0, 0, 2)$, čija je osnova trougao sa temenima $O(0, 0, 0)$, $A(2, 0, 0)$ i $B(0, 1, 0)$.

4463. Izračunati cirkulaciju vektora položaja jednog zavoja AB zavojnice $x = a \cos t$, $y = a \sin t$, $z = bt$, ako su A i B tačke koje odgovaraju vrednostima 0 i 2π parametra t .

4464. Kruto telo se obrće konstantnom ugaonom brzinom ω oko z -ose; izračunati cirkulaciju polja linearnih brzina duž kružne linije poluprečnika R , čiji centar leži na osi obrtanja a ravan joj je normalna na tu osu, — u smeru u kom se vrši obrtanje.

4465*. Izračunati protok rotora vektorskog polja $A(P) = yi + zj + xk$ kroz površinu obrtnog paraboloida $z = 2(1 - x^2 - y^2)$ koju od njega odseca ravan $z = 0$

REZULTATI

4401. Prave paralelne vektoru $A \{a, b, c\}$: $\frac{x-x_0}{a} = \frac{y-y_0}{b} = \frac{z-z_0}{c}$.

4402. Krugovi sa centrom u koordinatnom početku.

4403. Zavojnice sa visinom hoda $\frac{2\pi h}{\omega}$, koje leže na cilindrima čije se ose poklapaju sa z-osom: $x = R \cos(\omega t + \alpha)$, $y = R \sin(\omega t + \alpha)$, $z = ht + z_0$, pri čemu su R , α i z_0 proizvoljne konstante.

4404. 1) Krugovi $x^2 + y^2 + z^2 = R^2$, $y - z + C = 0$, po kojima ravni paralelne simetralnoj ravni $y - z = 0$ presecaju sferu sa zajedničkim centrom u koordinatnom početku (R i C su proizvoljne konstante).

2) Krugovi $x^2 + y^2 + z^2 = R^2$, $x + y + z = C$ po kojima ravni, koje od koordinatnih osa odsecaju odsečke iste dužine i znaka, presecaju sferu sa zajedničkim centrom u koordinatnom početku.

3) Krive po kojima se presecaju sfera $x^2 + y^2 + z^2 = R^2$ i hiperbolični paraboloidi $zy = Cx$.

4405. $\text{div } A = 3$, $\text{rot } A = 0$.

4406. $\text{div } A = 0$, $\text{rot } A = 2[(y-z)i + (z-x)j + (x-y)k]$.

4407. $\text{div } A = 6xyz$, $\text{rot } A = x(z^2 - y^2)i + y(x^2 - z^2)j + z(y^2 - x^2)k$.

4408. $\text{div } A = 6$, $\text{rot } A = 0$.

4409. $\text{div } A = 0$, $\text{rot } A = 0$.

4410. $\text{div } A = \frac{k}{r^2}$, gde je k koeficijent proporcionalnosti, a r —odstojanje napadne tačke sile od koordinatnog početka; $\text{rot } A = 0$.

4411. $\text{div } A = 0$, $\text{rot } A = 0$.

4412. $\text{div } A = 0$, $\text{rot } A = 0$. U tačkama z -ose polje nije definisano.

4413. $\text{div } A = \frac{k}{z\sqrt{x^2 + y^2 + z^2}}$, gde je k koeficijent proporcionalnosti. U tačkama ravni Oxy polje nije definisano.

4414. 3a. 4416. $\text{div } b(ra) = (ab)$, $\text{div } r(ra) = 4(ra)$.

4417. 0. 4418. 1) 0. 2) 0. 3) 0.

4419. $\text{div } A = \frac{2f(r)}{r} + f'(r)$, ako je polje prostorno, i $\text{div } A = \frac{f(r)}{r} + f'(r)$ ako je polje ravno.

4421. $\varphi \text{ rot } A + (\text{grad } \varphi \times A)$. 4422. $\frac{r \times A}{r}$.

4423. 2a. 4424. ωn_0 , gde je n_0 jedinični vektor paralelan osi obrtanja.

4430. $u = Ar + C$. 4431. $u = -\frac{1}{2}k(x^2 + y^2 + z^2) + C$. 4432. Neće. 4433. Neće.

4434. $u = -\frac{1}{2} \ln(x^2 + y^2) + C$. 4435. Nema.

4437. $\frac{2}{3}$, $\frac{1}{3}$, $\frac{1}{2}$. 4438. $k \delta \ln \frac{\sqrt{(l-x)^2 + y^2} + l - x}{\sqrt{(l+x)^2 + y^2} - l - x}$

4439*. $4k(\sqrt{2}-1)$.

4440. $\frac{k \delta \sqrt{a^2 + b^2}}{b} \ln \frac{2\pi b + \sqrt{a^2 + 4\pi^2 b^2}}{a}$.

$$4441. 2k\delta a \ln(1+\sqrt{\quad}). \quad 4442. \frac{2\pi k}{\sqrt{1-h^2}} \arccos h, \text{ ako je } h < 1, 2\pi k, \text{ ako je } h=1.$$

$$\frac{2\pi k}{\sqrt{h^2-1}} \ln(h+\sqrt{h^2-1}), \text{ ako je } h > 1.$$

$$4443^*. 1) 2k\pi R\delta \frac{H+\sqrt{H^2+R^2}}{R}, \quad 2) 4k\pi R\delta \ln \frac{H+\sqrt{H^2+4R^2}}{2R}$$

Prepoloviti cilindar presekom paralelnim osnovi i izračunati potencijal bočne površine cilindra kao zbir potencijala bočnih površina obe njegove polovine, koristeći rezultat iz tačke 1).

$$4444. 2k\pi R\delta.$$

$$4445^*. 1) k\pi\delta \left[H\sqrt{R^2+H^2} - H^2 + R^2 \ln \frac{H+\sqrt{R^2+H^2}}{R} \right],$$

$$2) \frac{k\pi\delta}{2} \left[H\sqrt{4R^2+H^2} - H^2 + 4R^2 \ln \frac{H+\sqrt{4R^2+H^2}}{2R} \right];$$

(vidi uputstvo u zadatku 4443).

$$4446. \pi k\delta H(l-H), \text{ gde je } l \text{ izvodnica konusa.}$$

$$4447. u = \frac{2}{3} k \frac{\pi R^3 \delta}{a} \left[\left(1 + \frac{a^2}{R^2}\right)^{\frac{3}{2}} - \left(\frac{a}{R}\right)^3 - \frac{3a}{2R} + 1 \right] \text{ za } a \geq R;$$

$$u = \frac{2}{3} k \pi a^2 \delta \left[\left(1 + \frac{R^2}{a^2}\right)^{\frac{3}{2}} - \left(\frac{R}{a}\right)^3 + \frac{3}{2} \left(\frac{R}{a}\right)^2 - 2 \right] \text{ za } a \leq R;$$

$$u = \frac{k\pi R^2 \delta}{3} (4\sqrt{2} - 3) \text{ za } a = R.$$

$$4448^*. u = \frac{4k\pi\delta}{3a} (R^3 - r^3) - \frac{kM}{a} \text{ (} M \text{ je masa tela) za } a \geq R;$$

$$u = 2k\pi\delta (R^2 - r^2) \text{ za } a \leq r;$$

$$u = \frac{4k\pi\delta}{3a} (a^3 - r^3) + 2\pi\delta (R^2 - a^2) \text{ za } r \leq a \leq R.$$

Postaviti koncentričnu sferu poluprečnika a i primeniti rezultate prva dva slučaja.

$$4449. \frac{kM}{a} \left[1 + \frac{2}{7} \left(\frac{R}{a}\right)^2 \right], \text{ gde je } M \text{ masa kugle.}$$

4450. I protok i cirkulacija su jednaki nuli.

4451. Vrednost protoka je $2aS$, gde je S površina oblasti ograničene konturom I cirkulacija je jednaka nuli.

4452. I protok i cirkulacija su jednaki nuli.

$$4453. \text{ Vrednost protoka je } \frac{2}{3} \pi R^4, \text{ a cirkulacija je } 2\pi R^2.$$

4454. U slučaju kad koordinatni početak leži unutar konture protok ima vrednost 2π , protivnom slučaju njegova je vrednost nula; cirkulacija je u oba slučaja jednaka nuli.

4455. Ako koordinatni početak leži unutar konture cirkulacija je 2π , a ako leži van konture vrednost cirkulacije je 0; protok je u oba slučaja jednak nuli.

4456. 2. **4458.** $2\pi R^2 H$. **4459.** $\pi R^2 H$.

4460: 4π . Izračunati protok kroz osnovu korusa i iskoristiti rezultat zadatka 4457.

4461 $\frac{3\pi}{16}$.

4462*. $\frac{1}{6}$. Primeniti formulu Ostrogradskog i izračunati protok kroz osnovu piramide

4463. $2\pi^2 b^2$. **4464.** $2\pi\omega R^2$.

4465. $-\pi$. Primeniti Škotsovu formulu uzimajući za konturu L krivu po kojoj ravan Oxy preseca paraboloid.